Boletim Técnico da Escola Politécnica da USP Departamento de Engenharia de Telecomunicações e Controle

ISSN 1517-3550

BT/PTC/0407

Propostas para Comunicação por Espalhamento Espectral com Caos

Antonio Carlos Rosso Júnior José Roberto Castilho Piqueira

São Paulo - 2004

1443063

O presente trabalho é um resumo da tese de doutorado apresentada por Anselmo Rodrigues, sob orientação do Prof. Dr. José Roberto Castilho Piqueira: "Propostas para Comunicação por Espalhamento Espectral com Caos", defendida em 10/03/04, na Escola Politécnica.

A íntegra da tese encontra-se à disposição com o autor e na Biblioteca de Engenharia de Eletricidade da Escola Politécnica/USP.

FICHA CATALOGRÁFICA

Rosso Júnior, Antonio Carlos

Propostas para comunicação por espalhamento espectral com caos / Antonio Carlos Rosso Júnior, José Roberto Castilho Piqueira. - São Paulo: EPUSP, 2004.

14 p. – (Boletim Técnico da Escola Politécnica da USP, Departamento de Engenharia de Telecomunicações e Controle ; BT/PTC/0407)

Caos (Sistemas dinâmicos) 2.Dinâmica simbólica 3. Otimização não linear 4.Telecomunicações I. Piqueira, José Roberto Castilho II. Universidade de São Paulo. Escola Politécnica. Departamento de Engenharia de Telecomunicações e Controle III. Titulo IV. Série

ISSN 1517-3550

CDD 515.39

CDD 515.39 629.8312 621.382

Propostas para comunicação por espalhamento espectral com caos

Anselmo Rodrigues Orientador: José Roberto Castilho Piqueira Departamento de Engenharia de Telecomunicações e Controle Escola Politécnica da Universidade de São Paulo Artigo Técnico da Tese de Doutorado

29 de Janeiro de 2004

Resumo

Nesse trabalho apresentamos algumas possibilidades de aplicação do caos em sistemas de comunicação. Fazendo uso das propriedades dos sistemas caóticos, propomos um esquema de codificação de informação que se baseia no tempo de retorno, uma característica típica de sistemas dinâmicos. Pelo uso das formas de onda caóticas, podemos fazer o espalhamento da informação na portadora de banda larga do sinal caótico.

Introdução 1

de sistemas caóticos é sua dependência em caos uma espécie de ruído determinista [1], relação às condições iniciais. Isso significa que devido a esse comportamento aparentemente dado dois pontos muito próximos um do ou- aleatório.

tro, suas trajetórias afastarão-se exponencialmente uma da outra com o passar do tempo. Esse fenômeno é um dos mais importantes fatores que diferenciam os sistemas caóticos dos não-caóticos. Essa divergência das trajetórias torna os sistemas caóticos intrinsecamente não previsíveis a longo prazo, não importando com que precisão conheçamos as posições iniciais.

Os sistemas caóticos escondem por trás de sua aparente aleatoriedade um comportamento determinista. No caos, comportamentos e dinâmicas complexas podem se esconder em sistemas descritos por simples equações algébricas ou conjuntos de equações Uma das mais importantes características diferenciais. Alguns autores consideram o

nicações tem, em princípio, duas vertentes principais de uso: a primeira objetiva aplicações em criptografia, através do embaralhamento do conteúdo da mensagem em uma sequência caótica. A segunda aplicação tem como meta a transmissão de informação pela codificação ou modulação de uma portadora caótica. Isso pode ser feito de várias maneiras, o que veremos em detalhes no decorrer deste trabalho. Como os sistemas caóticos apresentam espectro de banda larga, sistemas que utilizam essa propriedade estão sendo objetos de intensa pesquisa. Essa área de pesquisa chamada de comunicação caótica por espalhamento espectral, será o principal objeto de nosso trabalho. Nessa aplicação, o objetivo é espalhar a informação em uma faixa de frequência muito maior que a necessária para uma dada taxa de bits, visando reduzir as interferências com outras fontes de sinal, aumentar a imunidade a ruídos e também permitir o uso campartilhado do canal de comunicação entre vários usuários.

Os sistemas caóticos apresentam uma densidade espectral de potência aproximadamente uniforme, sendo a energia dos sinais espalhada sobre uma faixa ampla de frequências, além do que sinais caóticos complexos podem ser gerados utilizando-se circuitos elétricos relativamente simples [2] daí o seu uso potencial em comunicações.

A aplicação de sinais caóticos em comu- de sistemas de comunicação, tinham por meta mascarar a informação no fluxo caótico. numa abordagem semelhante à criptografia, uma vez que a justificativa era a comunicação segura [3]. Porém, os métodos de reconstrução do espaço de fase [4, 5] tornaram esse caminho muito vulnerável a ataques invasivos [6]. No entanto, a abordagem criptografica tem sido novamente objeto de estudos recentes, uma vez que técnicas mais elaboradas tem sido experimentadas objetivando evitar ataques via reconstrução do espaço de fase, tornando as técnicas de criptografia caótica mais confiável. A outra via possível, explora a idéia do espalhamento espectral, onde a faixa de frequência alocada para a informação é muito maior que o estritamente necessário, tornando atraente o uso do caos, uma vez que podemos utilizar pseudo-següências caóticas de período infinito.

> Os sinais caóticos apresentam uma estrutura complexa, assemelhando-se a sinais de origem aleatória, o que torna difícil a sua distinção dos ruídos verdadeiros, por meio de métodos de análise linear. Por também apresentarem um rápido decaimento na correlação entre porções atrasadas de um mesmo sinal, e terem espectro de banda larga, os sinais caóticos são naturalmente candidatos para a codificação de mensagens em sistemas de espalhamento espectral [7].

Em geral, os métodos de modulação uti-Os trabalhos pioneiros que aproveitavam lizados em espalhamento caótico consistem a idéia de usar o caos como elemento base na multiplicação da portadora caótica pelo

sinal da informação. feita dividindo-se o sinal recebido pelo sinal caótico de referência e depois fazendo-se uma média utilizando-se estimadores que calculam a correlação entre o sinal recebido e o sinal de referência.

2 Fundamentos da comunicação espalhapor mento espectral

Os conceitos mais importantes utilizados na comunicação por espalhamento espectral são a correlação entre sinais representados por funções ortogonais e a autocorrelação entre um sinal x(t) e outra parte do mesmo sinal deslocada τ unidades no tempo, ou seja: $x(t+\tau)$.

$$R_x(\tau) = \lim_{T \to \infty} \frac{1}{T} \int_{-T/2}^{+T/2} x(t) X(t - \tau) dt \quad (1)$$

Sejam os sinais $x_i(t)$ e $x_j(t)$, se eles forem ortogonais no intervalo [a,b], então pelo princípio da ortogonalidade

$$\int_{a}^{b} x_i(t)x_j(t)dx = \frac{1}{2\pi} \int_{a}^{b} X_i(\omega)X_j^*(\omega)d\omega = 0$$
(2)

com $X_i(\omega)$ e $X_j^*(\omega)$ sendo as transformadas de Fourier dos sinais $x_i(t)$ e $x_j(t)$. A igualreito da equação 2 é a correlação entre os O sinal transmitido p[n] será então:

A decodificação é sinais $x_i(t)$ e $x_j(t)$, no domínio do tempo. Quando os sinais são gerados por funções ortogonais, eles podem ser separados no receptor fazendo-se sua correlação com a pseudosequência (PN) do usuário. Nesse caso, as outras pseudo-sequências que não se correlacionam com as do destinatário, parecerão ao receptor do usuário, como ruído a ser rejeitado, pois em sistemas com meios compartilhados cada usuário utiliza uma pseudosequência (PN) diferente.

Espalhamento espectral com seqüências caóticas

Seja o sistema caótico discreto dado por uma função do tipo:

$$x[n+1] = f(x[n]) \tag{3}$$

sendo $x[n] = (x_1[n], x_2[n], ..., x_M[n])$ é um vetor de estado do sistema e $f = (f_1, f_2, ... f_M)$ é uma função que mapeia o estado x[n] no próximo estado x[n+1]. Assim, começando com uma dada condição inicial x[0] e aplicando a função f, obteremos o conjunto sucessivo de estados dados por x[n]. Pode-se obter uma função de codificação, com o uso de uma função suave g(.), tal que a uma nova seqüência y[n] = g(x[n]) seja obtida.

Uma maneira de fazer o espalhamento esdade entre as duas integrais é garantida pelo pectral do sinal de informação s[n], é multiteorema de Parseval. A integral do lado di- plicar esse sinal pela següência caótica y[n].

$$p[n] = y[n] * s[n] = g(x[n]) * s[n]$$
 (4)

O processo de decodificação é conseguido através do processo inverso, ou seja: dividese o sinal recebido p[n] pela inversa da função de codificação. Ou seja:

$$q[n] = p[n] * y[n]^{-1} = s[n]$$
 (5)

Esse processo de codifição é conhecido como sistemas baseados em pseudo-seqüências caóticas, onde cada bit de informação $s_j[n]$ é substituído por uma seqüência caótica de comprimento N.

Aqui nesse ponto, podemos afirmar que os sistemas que fazem uso de caos podem gerar pseudo-seqüências de período infinito, de uma maneira determinística [8], e, que tenham as propriedades autocorrelação concentrada e baixa correlação cruzada [9]. Além disso, os geradores caóticos podem produzir seqüências com propriedades estatísticas reprodutíveis, em banda larga, permitindo sistemas potêncialmente mais resistentes a interferências por multipercursos [10].

3 Técnicas de modulação em comunicação com caos

Modulação consiste na alteração sistemática de uma forma de onda, denominada de portadora, de acordo com as características de outra forma de onda (o sinal que contém a informação), com o objetivo de otimizar o uso do canal. Em suma, a modulação é feita para que a forma de onda apresente as propriedades mais adequadas ao processo de comunicação considerado [11, 12], casando o sinal ao canal de transmissão.

Existem duas abordagens quando se trata da modulação de sinais caóticos. meira abordagem conhecida como modulação dinâmica, substitui a portadora e o sistema de modulação, por um sistema caótico o qual é, de alguma maneira, controlado em função do conteúdo da informação. vemos observar que nesse processo de modulação existe uma interação direta entre a informação e a evolução da dinâmica do sistema caótico, uma vez que o conteúdo desta influência o comportamento futuro do sistema. Qualquer variável de estado X(t), ou combinação de estados, podem formar o sinal transmitido. Esse método tem a vantagem de ser menos dispendioso em termos de energia de controle, entretanto para sistemas com frequências mais altas pode ser difícil a implementação devido à dificuldades no controle [12].

Na outra possível abordagem, não existe uma interação direta entre o conteúdo da informação e a dinâmica do sistema caótico. Na modulação estática cada seqüência discreta de símbolos é mapeada em um segmento de sinal caótico de comprimento N, produzido por um gerador de código. Nesse

método, pode-se utilizar o clássico esquema de translação de freqüência entre os sinais, junto com o par modulador/demodulador. Como desvantagem, porém, mostra-se mais caro e complexo de implementar. Aqui, o sistema caótico tem a função principal fornecer uma portadora de banda larga.

3.1 Detecção coerente versus detecção não-coerente

Neste tipo de detecção, uma cópia das funções base X(t) utilizadas na codificação deve estar presente na decodificação, ser correlacionada com o sinal recebido m(t). As funções base de referência podem ser obtidas por sincronização de circuitos, neste caso diz-se que é um sistema com referência armazenada¹, uma vez que a sincronização provê uma réplica das funções base X(t). Se estas funções forem enviadas juntas com o sinal codificado m(t), então, chama-se a esse método, de sistemas com referência transmitida². Um filtro passa-faixa 3 é colocado na entrada do sistema servindo como limitador da largura de banda dos sinais que chegam ao receptor. A figura 1 mostra os blocos que formam esse tipo de sistema.

O segundo método de recuperação da informação é a detecção não coerente, que pode ser conseguida sem que haja a sincronização entre os sistemas transmissor e recep-

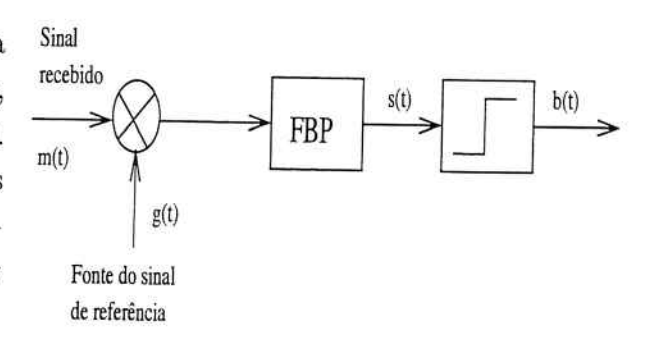


Figura 1: Detecção por correlação.

tor, ou seja, não é necessário o conhecimento prévio da forma de onda caótica. Nesse caso, a informação pode ser recuperada pela estimação de propriedades estatísticas do sinal $m(t) = s_i(t) + \eta(t)$. Entre as propriedades estatísticas que podem ser avaliadas no estimador (correlacionador), estão a energia média por símbolo \overline{E}_b ou a variância σ_b na energia dos sinais. A decisão é feita pela comparação com um valor de limiar z, previamente escolhido e adequado ao sistema, tal que:

$$z_0 = \int_0^\tau m^2(t)dt \qquad \text{para bit=0} \quad (6)$$

$$z_1 = \int_0^\tau (\eta^2(t) + r(t))dt \qquad \text{para bit} = 1$$
(7)

Em ambos os casos, τ é o intervalo de integração que é igual à duração do bit. O valor $\eta^2(t) + r(t)$ é a energia E_r do sinal, obtida por um detector quadrático. Sendo d o valor de limiar escolhido para um dado sistema, o circuito de decisão faria $z_0 < d$ para bit=0 e $z_0 > z$ para bit=1, por exemplo

¹SR - stored reference

²TR - Transmitted reference

³BPF bandpass filter

4 moto

Descrevemos agora, o circuito de Matsumoto [13], que será o elemento responsável pelo comportamento caótico, no esquema de comunicação proposto nesse trabalho.

O circuito de Matsumoto [13], também muito conhecido como circuito de Chua, juntamente com o mapa logístico, estão entre os sistemas caóticos mais exaustivamente estudados. Quanto ao circuito de Matsumoto, tal fato, deve-se à sua grande versatilidade, facilidade de construção e simulação numérica.

Apresentado em sua forma básica tem apenas cinco componentes: dois capacitores, um indutor, um resistor linear e um resistor linear por partes, sendo este o único componente ativo do circuito. Nesta seção estudaremos os aspectos do circuito de Matsumoto que possam ser do interesse quanto à capacidade de servir como elemento de um sistema de comunicação baseado em caos.

O circuito de Matsumoto é modelado por um conjunto de três equações diferenciais ordinárias de primeira ordem, acopladas.

Abaixo as três equações diferenciais que modelam o circuito:

$$C_1 \frac{dV_{C1}}{dt} = \frac{1}{R} (V_{C2} - V_{C1}) - i_{NR})$$
 (8)

$$C_2 \frac{dV_{C2}}{dt} = \frac{1}{R} (V_{C1} - V_{C2}) + i_L$$
 (9)

$$L\frac{di_L}{dt} = -V_{C2} \tag{10}$$

Circuito de Matsu- sendo i_{NR} a corrente que circula pelo resitor não-linear R_{NL} e R o resistor de acoplamento entre R_{NL} e o circuito tanque oscilador LC.

> A relação entre tensão e corrente no resistor linear por partes R_{NL} , é o resultado de três valores diferentes de condutância em função da tensão aplicada. A equação que define essa relação, mostra que a corrente i_{NL} depende da tensão V_{C1} aplicada nos extremos do resistor e das condutâncias G_0 , G_1 e B_P . O parâmetro B_P é a tensão de quebra⁴, representado pelos pontos onde a curva apresenta mudança brusca no valor de sua condutância S, as condutâncias G_0 e G_1 indicam a inclinação das retas, conforme a equação a seguir:

$$i_{NL} = G_0 V_{C1} + \frac{1}{2} (G_1 - G_0) |V_{C1} + B_P| + \frac{1}{2} (G_0 - G_1) |V_{C1} - B_P|$$
 (11)

O aparecimento do caos no circuito de Matsumoto é devido a uma sequência de duplicação de período. Esta rota para o caos via duplicação em cascata de períodos, é conhecida como cenário de Feigenbaum, isto pode ser visto pela série mostrada na figura 2, em que para G=0,55695, tem-se órbita de período 1, para G = 0,5710 tem-se órbita de período 2, para G=0,5718 a órbita apresenta período 3 e finalmente para G = 0,5750ocorre regime caótico. O atrator caótico apresentado no gráfico 2 é do tipo Rössler, e será utilizado nesse trabalho.

⁴breakpoint voltage

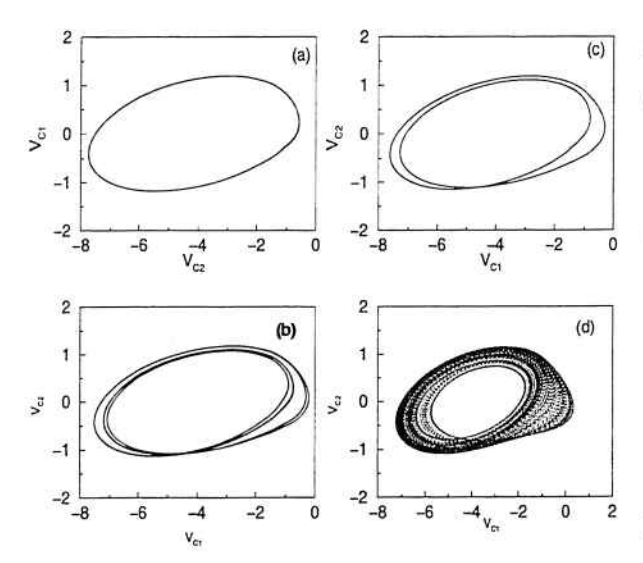


Figura 2: Seqüência de duplicação de períodos para o atrator de Matsumoto (a) G=0,5695. (b) G=0,5710. (c) G=0,5720. (d) G=0,5750 atrator tipo $R\ddot{o}ssler$

5 Secções de Poincaré de sistemas caóticos

Os sistemas caóticos contínuos que são descritos por conjuntos de equações diferenciais (fluxos) podem ser reduzidos a um sistema discreto pelo uso das secções de Poincaré ou mapas de Poincaré.

Para o circuito de Matsumoto, a aplicação da secção de Poincaré nos permite uma redução da dimensão do sistema de três para duas, passamos do domínio contínuo para o domínio discreto. Conforme já convencionamos anteriormente, o plano no qual as secções de Poincaré estão imersas é formado pelas variáveis dinâmicas $x = V_{C1}$ e $y = i_L$, a

tensão no capacitor C_1 e a corrente no indutor i_L , respectivamente.

6 Comunicação por Espalhamento Espectral por Análise do Tempo de retorno

Descreveremos agora o método de comunicação por espalhamento espectral por nós desenvolvido. Esse método baseia-se na estatística dos tempos de recorrência das trajetórias, considerando-se uma secção de Poincaré perpendicular a essas trajetórias.

Em sistemas caóticos podemos fazer a caracterização da série temporal fazendo-se uma análise estatística da distribuição assumida por esses valores. Valores médios, variâncias e desvio padrão são as grandezas mais comumente utilizadas na caracterização de séries temporais. Podemos ainda, definir outra grandeza, chamada de tempo de retorno ou tempo de recorrência de Poincaré. O conceito de tempo de retorno pode ser aplicado a mapas unidimensionais e modelos descritos por fluxos estacionários [14].

Para analisarmos a distribuição do tempo de recorrência para o circuito de Matsumoto devemos estabelecer o plano segundo o qual as trajetórias irão atravessar. Levando-se em conta o período das órbitas, estamos interessados somente naquelas que correspondem ao primeiro tempo de retorno.

O gráfico 3 mostra um histograma com a distribuição dos tempos de retorno em que consideramos os tempos de retorno τ_1 e τ_2 . Aproximadamene 1700 cruzamentos na secção de Poincaré resultaram em diferentes freqüências para os tempos τ_1 e τ_2 . Nos gráfico 3a indica-se os tempos de retorno τ_1 e em 3b mostra-se os tempos de retorno τ_2 . Podemos ver ainda, que os tempos τ_1 tem uma maior variância e que estão mais espalhados que os tempos τ_2 e que estão mais concentrados em torno do valor $\tau_1 = 99$.

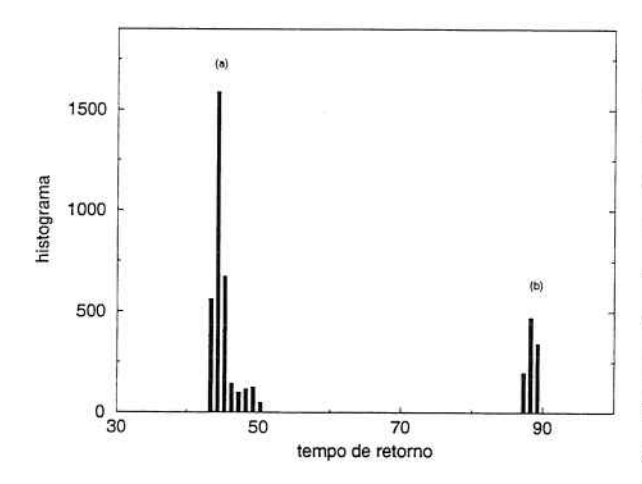


Figura 3: Histograma do tempo de retorno.

6.1 Efeito da presença de ruídos no tempo de retorno

Vamos agora, considerar o caso onde o ruído e (e), temos relação sinal-ruído (SNR = 16.1 esteja presente junto com o sinal. O gráfico dB), ($SNR = 12.2 \ dB$), ($SNR = 8.0 \ dB$) 5 mostra os histogramas resultantes quando e ($SNR = 4.2 \ dB$) para as curvas b,c,d e e existe ruído presente junto com a variável respectivamente. Podemos novamente obser-

caótica. Em ambos os casos (a) e (b), relação sinal-ruído é $\left(\frac{E_b}{N_0}\right)=2.9~dB$, com E_b sendo a potência do sinal e N_0 sendo a potência do ruído. No gráfico (a) o histograma mostra a distribuição dos tempos de retorno para o sinal m(t), após ser reconstruído via sincronização caótica. Podemos ver a dispersão produzida pela presença dos ruídos, produzindo um espectro de distribuição dos tempos aproximadamente contínuo, com a moda concentrando-se em valores mais baixos do tempo de retorno, havendo uma ligeira tendência para uma distribuição bimodal.

Outra maneira de ver como os ruídos influenciam na variação do tempo de recorrência é indicado pelo gráfico 4, no qual plotamos os tempos de recorrência tomados na secção de Poincaré, para vários níveis de ruído. Em 4a o sinal caótico não contém nenhum ruído. o tempo de retorno é da ordem de aproximadamente 90 iterações. Doravante nos referiremos ao tempo em termos de iterações, em analogia com as nossas simulações, onde o passo de integração é dado em unidades discretas de tempo. Assim, por exemplo se o tempo de recorrência for de 90, isto significa que a variável considerada consumiu 90 iterações do bloco integrador para cruzar novamente a secção de Poincaré. mos que no mesmo gráfico em (b), (c), (d) e (e), temos relação sinal-ruído (SNR = 16.1dB), $(SNR = 12.2 \ dB)$, $(SNR = 8.0 \ dB)$ e (SNR = 4.2 dB) para as curvas b,c,d e e

var que com o aumento do ruído os tempos de retorno diminuem.

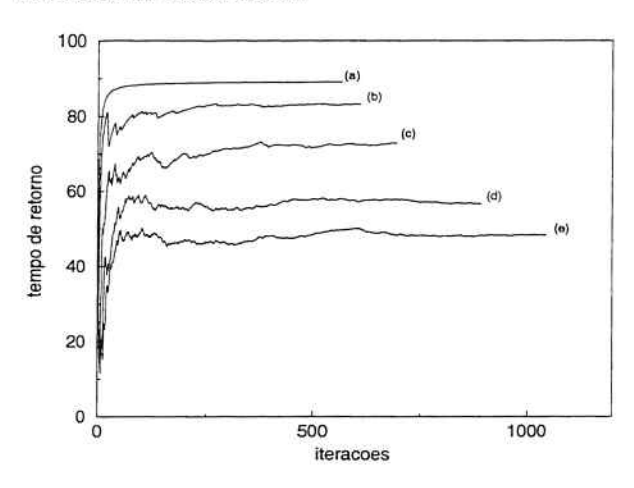


Figura 4: Dependência dos tempos de retorno em função do ruído.

7 Comunicação caótica por tempo de retorno

Nos métodos de comunicação com caos em geral, a recuperação da informação depende

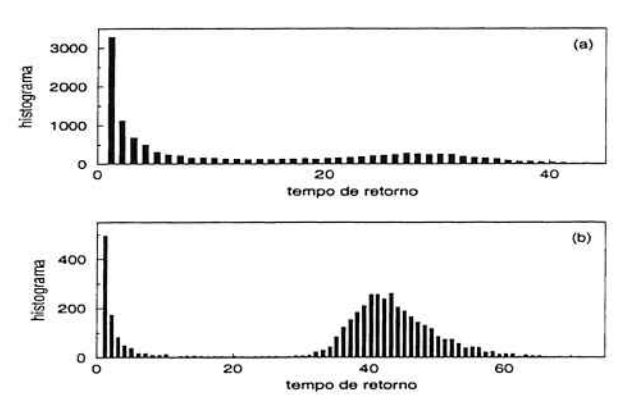


Figura 5: Comparação entre a distribuição dos tempos de retorno com ruído (2.9 dB.)

do valor limiar da variável de decisão, o qual varia para cada nível de ruído presente no sinal caótico composto $m(t) = V_{C1} + \eta(t)$. Isso implica que deve haver pelo menos um período de aprendizagem do sistema para o que a decisão possa ser efetuada.

Para contornar esse problema, o nosso método lança mão de um segundo circuito caótico idêntico ao primeiro, porém, cujo sinal de entrada provém de um gerador de sinais aleatórios, o qual será utilizado como referência local.

O sinal caótico $m(t) = V_{C1} + \eta(t)$ é a variável condutora do gerador caótico responsável pela recuperação da informação. A saída desse gerador passa por um circuito de análise estatística que extrai o tempo médio de recorrência $\overline{\tau}_1$. A saída do gerador caótico de referência passa por um segundo circuito analisador de estatística, fornecendo o tempo médio de retorno $\overline{\tau}_{ref}$. A figura 6 mostra um diagrama em blocos do nosso esquema.

Comparando-se com a correlação obtida entre o primeiro semi-ciclo com o segundo semi-ciclo, faz-se a decisão do bit. Esse procedimento evita que o circuito de decisão seja dependente do nível de ruído presente no canal. Os métodos que empregam esse recurso são chamados de sistema com referência transmitida (TR).

Esse método, não faz a decisão de bit baseado na energia do sinal caótico. Para isso, considera o valor médio dos tempos de retorno para o sinal caótico obtido por sincro-

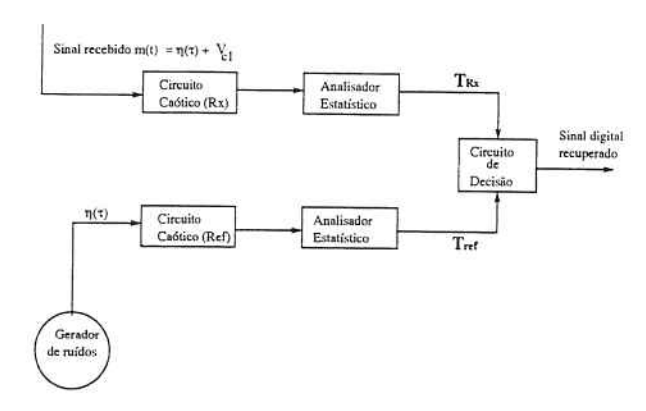


Figura 6: Diagrama em blocos do receptor baseado no tempo de retorno.

nização caótica. Explicaremos agora, como codificar a informação em nosso esquema. Vamos considerar sinais digitais. Quando queremos enviar o bit 1, enviamos um segmento de onda caótica, com duração T_b . Para se enviar o bit 0, desliga-se o sinal caótico, durante o tempo (T_b) de duração do bit.

Sendo T_b a duração do bit e τ_1 o tempo de retorno de Poincaré no atrator caótico, então a relação $n_s = \frac{T_b}{\tau_1}$ é o fator de espalhamento espectral adotado, com n_s sendo um número inteiro. Devemos ter naturalmente $T_b >> \tau_1$ para que haja o espalhamento espectral. Isso implica que para a transmissão de um bit, uma trajetória caótica deve cruzar n_s vezes secção de Poincaré. O valor médio $\overline{\tau}_1$ do tempo de retorno para um ciclo de transmissão de um bit, será dado por:

$$\overline{\tau}_1 = \frac{\sum_{i=1}^{n_s} \tau_1}{n_s} \tag{12}$$

Esse valor é calculado à cada cruzamento

duração T_b de um bit, e tendo-se em conta que o tempo médio de retorno τ_1 é menor que T_m , devem haver pelos menos T_b/ au_1 cruzamentos pela secção de Poincaré.

A idéia central para a recuperação da informação é partir do fato que mesmo na presença de ruídos, a sincronização caótica entre os circuitos caóticos é suficientemente robusta, para manter correlação não-nula com a variável caótica condutora, $(V_{C1}^{(T)})$, no caso do circuito de Matsumoto e sincronização tipo Carrol-Pecora.

A correlação entre duas variáveis indica a intensidade da relação linear entre elas. Façamos provisoriamente $x_t = V_{C1}^{(T)}$ e $y_r =$ $V_{C1}^{(R)}$. O grau de correlação entre x e y é medido pelo coeficiente r_{corr} calculado como se segue:

$$r = \frac{S_{x_T y_R}}{\sqrt{S_{x_T x_T}} \sqrt{S_{y_R y_R}}} \tag{13}$$

$$S_{x_t y_r} = \Sigma (x_t - \overline{x}_t)(y_r - \overline{y}_r)$$

$$S_{x_t x_t} = \Sigma (x_t - \overline{x}_t)^2$$

$$S_{y_r y_r} = \Sigma (y_t - \overline{y}_r)^2$$
(14)

sendo \overline{x}_t o valor médio de x_t e \overline{y}_r o valor médio de y_r .

Da expressão acima pode-se ver que o coeficiente r pode variar continuamente no intervalo [-1, +1]. Valores de r próximo de ± 1 indicam que existe uma forte relação entre pela secção de Poincaré, pois para uma dada $\,$ as grandezas x e y e valores de r próximos

onadas, o que em geral ocorre quando x e yseguem uma distribuição aleatória. Os sistemas caóticos, devem apresentar sinais com baixa auto-correlação.

Para se efetuar a decodificação do sinal caótico $m(t) = V_{C1} + \eta(t)$, o circuito de decisão calcula o valor médio dos tempos de retorno $\overline{\tau}_{1Rx}$ do sinal caótico, calculado durante o período de duração T_b do bit. Em seguida, esse valor é comparado com o valor médio $\overline{\tau}_{1ref}$ dos tempos de retorno de um outro circuito utilizado como referência, mas que recebe como sinal de entrada m'(t) somente o ruído $\eta(t)$, ou seja devemos ter $m'(t) = \eta(t)$.

As equações 15 e 16 mostram como a decodificação é feita. Ao atribuirmos o bit 0 quando $\overline{\tau}_{1ref}$ for menor que $\overline{\tau}_{1Rx}$, estamos levando em conta que, na presença de ruídos, os tempos de retorno se tornam menores.

$$bit = 0$$
 se $(\overline{\tau}_{1Ref}) \le (\overline{\tau}_{1Rx})$ (15)

$$bit = 1$$
 se $(\overline{\tau}_{1Ref}) > (\overline{\tau}_{1Rx})$ (16)

Os tempos de recorrência demostraram ser afetados pelo ruído presente de uma maneira inversamente proporcional ao tempo de duração T_b do bit. Como já vimos na figura 13, mesmo na presença de ruídos ainda temos uma correlação não-nula entre o sinal recebido e o sinal recuperado no circuito de decisão. Com índices de correlação mais elevados, ou seja, cujo módulo esteja próximo de ±1, podemos utilizar um tempo de duração

de 0 indicam que x e y são pouco correlaci- de bit menor, isso, impacta diretamente a velocidade transmissão de informação (diminuição do fator de espalhamento). O gráfico 7 mostra a distrubuição dos tempos de recorrência para um bit com duração $T_b = 500$ amostras e níveis de ruído de (a) SNR = 18.5 $dB \in (b)$ SNR = 10.6 dB. Pode-se ver que com um maior nível de ruído a distância entre o sinal de referência e sinal propriamente dito diminui, atingindo um ponto onde começam a se entrelaçarem⁵, quando isso ocorrer, haverá um erro de decisão de bit.

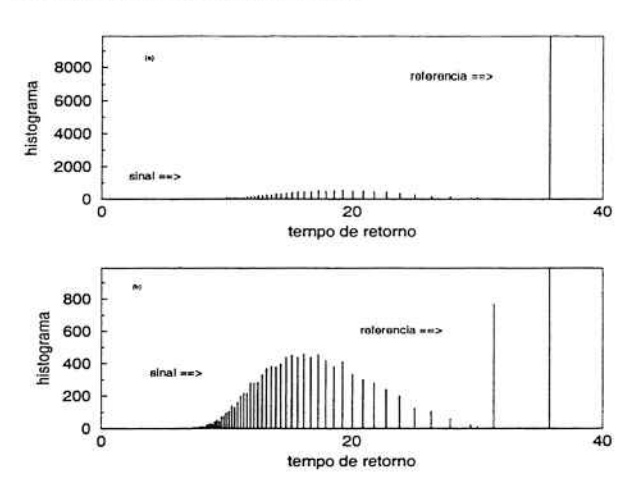


Figura 7: Comparação entre a distribuição dos tempos de retorno para $T_b = 500 (a)$ $SNR = 18.5 \ dB$, (b) $SNR = 10.6 \ dB$.

Também podemos ver o comportamento do sistema em relação ao ruído se olharmos a série temporal dos tempos de retorno do sinal e do sistema de referência, uma vez que, nesse caso, podemos perceber se existe entrelaçamento entre os módulos dos tempos de

⁵overlapping

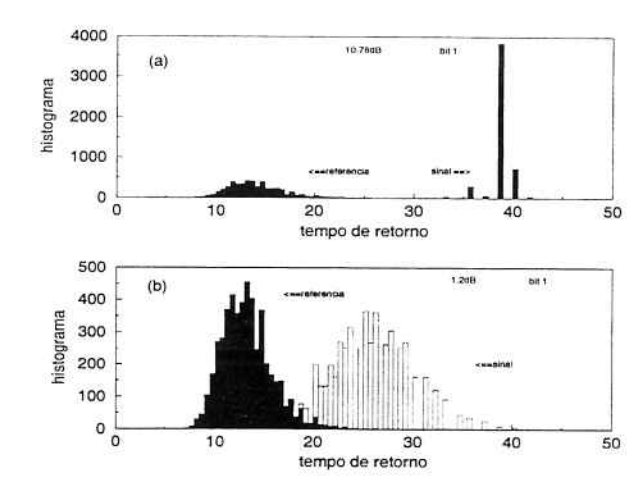


Figura 8: Comparação entre a distribuição dos tempos de retorno para Poincaré normal.

recorrência.

8 Considerações sobre o desempenho do método

Vimos nas secções anteriores como diferentes níveis de ruído afetavam os tempos de recorrência, mantido fixo a duração do bit. Também verificamos que a presença de ruído influenciam os tempos de retorno. Uma vez, que nosso método faz a decisão de bits, em função dos tempos de retorno, isto implica que a taxa de erro de bits também será afetada. Nessa seção, mostraremos os resultados de algumas simulações, para verificar essa influência. Não faremos considerações de ordem teórica.

O gráfico 9 mostra a taxa de erro de bits calculada para diferentes durações de bits. A

das abcissas e no eixo vertical, nomeado como BER, plotamos a taxa de erro relativa, ou seja a razão entre o número de bits decodificados com erro (N_{erro}) e o número (N_{tx}) de bits transmitidos:

$$BER = \frac{N_{erro}}{N_{tx}} \tag{17}$$

No gráfico 9a temos um período de T_b = 1000 amostras, em 9b o período é $T_b = 1500$ amostras e em 9c a duração do bit é de 2000 amostras. Podemos ver, como a com o aumento do fator de espalhamento, dado pelo maior período de duração do bit, obtemos resistência à presença de ruídos, isso indica ganho de processamento, como era nosso objetivo inicial. Para $T_b = 1000$ amostras temos uma taxa de erro em bits igual à zero, para uma relação sinal-ruído SNR = 3.2 dB. Para $T_b = 1500$ amostras tem-se taxa de erros zero quando SNR = -0.12dB e para $T_b=2000$ amostras a relação sinal-ruído para o qual a taxa de erro é zero é da ordem de -1.42 dB. Podemos ver que essas relações sinalruído são adequadas para sistemas de comunicação com caos, o que indica a eficiência do método empregado.

Conclusões

Neste método, podemos verificar que o tempo de recorrência de Poincaré é uma característica que mantém um alto grau de correlação com a dinâmica caótica, mesmo na relação sinal-ruído (SNR) é plotada no eixo presença de altos níveis de ruído. Através da

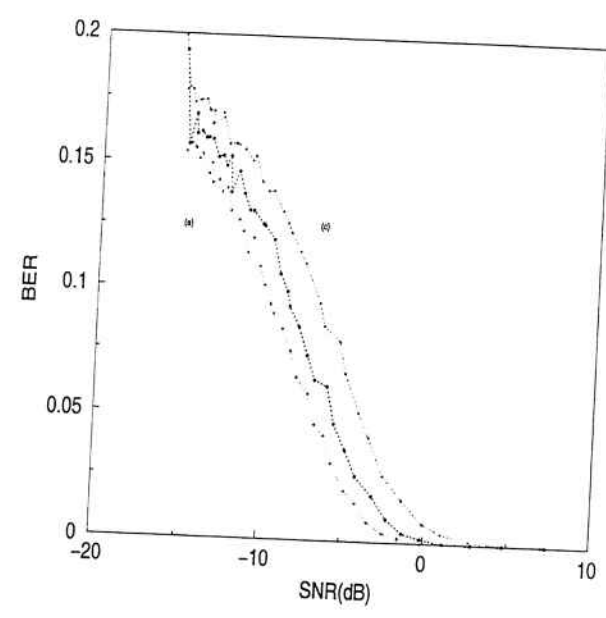


Figura 9: Dependência da taxa de erro de bits em função do ruído.

sincronização caótica torna-se possível recuperar o tempo de recorrência tomada em uma
secção de poincaré no espaço de fase. Uma
preocupação que tivemos foi sempre considerar um sinal caótico contaminado com ruídos.
Assim, verificamos que o efeito de ruídos é
abaixar o valor médio dos tempos de retorno,
tornando menos diferenciável o sinal caótico
que contém a informação do sinal utilizado
como referência.

Através da análise da correlação entre os sinais caóticos e de referência, podemos verificar que o grau de correlação entre os dois fluxos vai diminuindo à medida que o nível de ruído aumenta, esta análise indica o grau de robustez do sistema aos ruídos. A presença do ruído tem por efeito uma dispersão

na distribuição dos tempos de retorno, produzindo para níveis altos de ruído, distribuições bimodais. A velocidade de transmissão de informação também foi afetada pelos ruídos, pois para se conseguir uma detecção com baixas taxas de erro, precisamos aumentar o fator de espalhamento.

Verificamos ainda adotando-se seqüências caóticas mais longas (fator de espalhamento maior), que chamamos de tempo de duração do bit T_w , aumentavamos a resistência ao ruído do sistema, ou seja, consequimos obter ganho de processamento, que era um dos nossos objetivo principais. Este ganho de processamento obtido quando espalhamos a informação em partes maiores do fluxo caótico, permite a obtenção de taxas de erro (BER) menores, mesmo na presença de maiores níveis de ruído, o que torna o sistema de grande interesse para comunicação em ambientes com alto grau de adversidade.

Outro objetivo que conseguimos atingir foi fazer a decisão de bits não mais em função da energia do sinal, o qual varia em função da relação sinal-ruído do canal. Isso implica que o circuito de decisão fica independente do nível de ruído presente no sinal.

Referências

 LIN, H. B. Chaos and nonlinear dynamics. New York, NY: Oxford University Press, 1994.

- [2] KOLUMBAN, G.; KENNEDY, M. P.; CHUA, L. O. The role of syncrhonization in digital communications using chaos-part iii: Chaotic modulation and chaotic syncrhonization. *IEEE Trans.* Circuits and Syst. I. Vol. 45, p. 1129– 1140, 1998.
- [3] CUOMO, K. M.; OPPENHEIM, A. V. Circuit implementation of synchronized chaos with applications to communication. *Phys.:Rev. Lett.*, v. 71, p. 65–68, 1993.
- [4] TAKENS, F. Detecting strangre attractors in turbulence. Berlin: in Dynamical Systems and Turbulence (Lectures Notes im Math. 898). Springer-Verlag, 1980.
- [5] ABARBANEL, H. D. I. Analisys of observed chaotic data. New York: Springer Verlag, 1996.
- [6] PEREZ, G.; CERDEIRA, H. A. Extracting message masked by chaos. Phys. Rev. Lett, v. 74, p. 1970–1973, 1995.
- [7] ARQUELLO, F.; BUGALLO, M. Multiuser receivers for spread spectrum communications based on chaotic sequences. Int. J. Bifurcation and Chaos, v. 12, p. 847–853, 2002.
- [8] ITOH, M. Spread spectrum communication via chaos. Int. J. Bifurcation and Chaos, v. 9, p. 155–213, 1998.

- [9] ABEL, A.; BAUER, A.; SCHWARZ, W. Chaotic codes for cdma applications. Acessado em Janeiro de 2004: Disponível em: http://citeseer.nj.nec.com/abel97chaotic.html, 2004.
- [10] KENNEDY, M. P.; KOLUMBAN, G. Digital communications using chaos. Signal Processing. Vol. 80, p. 1307–1320, 2000.
- [11] CARLSON, A. B. Communication systems. New York, NY: McGraw-Hill, Inc, 1981.
- [12] HASLER, M.; SCHIMMING, T. Communications using chaos. International Conference on Signals and Electronic Systems, p. 19–30, 2001.
- [13] MATSUMOTO, T.; CHUA, L. O. The double scroll. IEEE Trans. Circuits Syst., v. CAS-32, p. 797-818, 1985.
- [14] ZASLAVSKY, G. M.; TIPPET, M. K. Phys. Rev. Lett., v. 67, p. 3251–3260, 1999.

BOLETINS TÉCNICOS - TEXTOS PUBLICADOS

- BT/PTC/9901 Avaliação de Ergoespirômetros Segundo a Norma NBR IEC 601-1- MARIA RUTH C. R. LEITE, JOSÉ CARLOS TEIXEIRA DE B. MORAES
- BT/PTC/9902 Sistemas de Criptofonia de Voz com Mapas Caóticos e Redes Neurais Artificiais MIGUEL ANTONIO FERNANDES SOLER, EUVALDO FERREIRA CABRAL JR.
- BT/PTC/9903 Regulação Sincronizada de Distúrbios Senodais VAIDYA INÉS CARRILLO SEGURA, PAULO SÉRGIO PEREIRA DA SILVA
- BT/PTC/9904 Desenvolvimento e Implementação de Algoritmo Computacional para Garantir um Determinado Nivel de Letalidade Acumulada para Microorganismos Presentes em Alimentos Industrializados RUBENS GEDRAITE, CLÁUDIO GARCIA
- BT/PTC/9905 Modelo Operacional de Gestão de Qualidade em Laboratórios de Ensaio e Calibração de Equipamentos Eletromédicos MANUEL ANTONIO TAPIA LÓPEZ, JOSÉ CARLOS TEIXEIRA DE BARROS MORAES
- BT/PTC/9906 Extração de Componentes Principais de Sinais Cerebrais Usando Karhunen Loève Neural Network EDUARDO AKIRA KINTO, EUVALDO F. CABRAL JR.
- BT/PTC/9907 Observador Pseudo-Derivativo de Kalman Numa Coluna de Destilação Binária JOSÉ HERNANDEZ LÓPEZ, JOSÉ JAIME DA CRUZ, CLAUDIO GARCIA
- BT/PTC/9908 Reconhecimento Automático do Locutor com Coeficientes Mel-Cepstrais e Redes Neurais Artificiais ANDRÉ BORDIN MAGNI, EUVALDO F. CABRAL JÚNIOR
- BT/PTC/9909 Análise de Estabilidade e Sintese de Sistemas Híbridos DIEGO COLÓN, FELIPE MIGUEL PAIT
- BT/PTC/0001 Alguns Aspectos de Visão Multiescalas e Multiresolução JOÃO E. KOGLER JR., MARCIO RILLO
- BT/PTC/0002 Placa de Sinalização E1: Sinalização de Linha R2 Digital Sinalização entre Registradores MFC- PHILLIP MARK SEYMOUR BURT, FERNANDA CARDOSO DA SILVA
- BT/PTC/0003 Estudo da Técnica de Comunicação FO-CDMA em Redes de Fibra Óptica de Alta Velocidade TULIPA PERSO, JOSÉ ROBERTO DE A. AMAZONAS
- BT/PTC/0004 Avaliação de Modelos Matemáticos para Motoneurônios DANIEL GUSTAVO GOROSO, ANDRÉ FÁBIO KOHN
- BT/PTC/0005 Extração e Avaliação de Atributos do Eletrocardiograma para Classificação de Batimentos Cardíacos ELDER VIEIRA COSTA, JOSÉ CARLOS T. DE BARROS MORAES
- BT/PTC/0006 Uma Técnica de Imposição de Zeros para Auxílio em Projeto de Sistemas de Controle PAULO SÉRGIO PIERRI, ROBERTO MOURA SALES
- BT/PTC/0007 A Connected Multireticulated Diagram Viewer PAULO EDUARDO PILON, EUVALDO F. CABRAL JÚNIOR
- BT/PTC/0008 Some Geometric Properties of the Dynamic Extension Algorithm PAULO SÉRGIO PEREIRA DA SILVA
- BT/PTC/0009 Comparison of Alternatives for Capacity Increase in Multiple-Rate Dual-Class DS/CDMA Systems CYRO SACARANO HESI, PAUL ETIENNE JESZENSKY
- BT/PTC/0010 Reconhecimento Automático de Ações Faciais usando FACS e Redes Neurais Artificiais ALEXANDRE TORNICE, EUVALDO F. CABRAL JÚNIOR
- BT/PTC/0011 Estudo de Caso: Tornando um Projeto Testável Utilizando Ferramentas Synopsys REINALDO SILVEIRA, JOSÉ ROBERTO A. AMAZONAS
- BT/PTC/0012 Modelos Probabilisticos para Rastreamento em Carteiras de Investimento HUGO G. V. DE ASSUNÇÃO, OSWALDO L. V. COSTA
- BT/PTC/0013 Influência de um Controle Imperfeito de Potência e Monitoramento da Atividade Vocal na Capacidade de Sistemas DS/CDMA MÁRCIO WAGNER DUARTE ROLIM, PAUL JEAN ETIENNE JESZENSKY
- BT/PTC/0014 Canceladores de Interferência Sucessivo e Paralelo para DS/CDMA TAUFIK ABRÃO, PAUL JEAN E. JESZENSKY
- BT/PTC/0015 Transmissão de Serviços de Multimídia num Sistema Móvel Celular CDMA de Banda Larga EDUARDO MEIRELLES MASSAUD, PAUL JEAN ETIENNE JESZENSKY
- BT/PTC/0016 Disseminação do HIV em uma População Homossexual Heterogênea MARCOS CASADO CASTÑO, JOSÉ ROBERTO CASTILHO PIQUEIRA
- BT/PTC/0017 Implementação e Avaliação em Laboratório de um Monitor Cardiaco Portátil para Três Derivações RAISA FERNÁNDEZ NUNEZ, JOSE CARLOS TEIXEIRA DE BAROS MORAES
- BT/PTC/0018 Projeto de Filtros Recursivos de N-ésima Banda IRINEU ANTUNES JÚNIOR, MAX GERKEN
- BT/PTC/0019 Relative Flatness and Flatness of Implicit Systems PAULO SÉRGIO PEREIRA DA SILVA, CARLOS CORRÉA FILHO
- BT/PTC/0020 Estimativa de Fluxo Sangüíneo nas Artérias Coronárias Usando Imagens de Cineangiocardiografia ANA CRISTINA DOS SANTOS, SÉRGIO SHIGUEMI FURUIE
- BT/PTC/0021 Modelos Populacionais para AIDS e Análise do Equilibrio sem Epidemia ELIZABETH FERREIRA SANTOS, JOSÉ ROBERTO CASTILHO PIQUEIRA

- BT/PTC/0101 Model-Based Soft-Sensor Design for On-Line Estimation of the Biological Activity in Activated Sludge Wastewater Treatment Plants OSCAR A. Z. SOTOMAYOR, SONG WON PARK, CLAUDIO GARCIA
- BT/PTC/0102 Reconhecimento Automático do Locutor Utilizando a Rede Neural Artificial Field Distributed Memory FDM MARCELO BLANCO, EUVALDO F. CABRAL JR.
- BT/PTC/0103 Algoritmos de Filtragem e Previsão em Modelos de Volatilidade FERNANDO LOVISOTTO, OSWALDO L. V. COSTA
- BT/PTC/0104 Método de Diferenças Temporais Aplicado às Equações de Riccati Acopladas entre Si OSWALDO L. V. COSTA, JULIO C. C. AYA
- BT/PTC/0105 Método de Diferenças Finitas e de Monte Carlo em Derivativos ANDRÉ CURY MAIALI, OSWALDO LUIZ DO VALLE COSTA
- BT/PTC/0106 Resolução de um Problema Inverso de Eletromagnetismo por Meio de Redes Neurais Artificiais ARNALDO MEGRICH, JORGE MIECZYSLAW JANISZEWSKI
- BT/PTC/0107 Projeto de Controlador de Temperatura para Perfusão Peritoneal com Hipertermia e Quimioterapia GIANCARLO ANTONIO BERZACOLA, FUAD KASSAB JÚNIOR
- BT/PTC/0108 0 Papel de Diferentes Grupos Populacionais na Transmissão Sexual do HIV ELIZABETH FERREIRA SANTOS, JOSÉ ROBERTO CASTILHO PIQUEIRA
- BT/PTC/0109 Terapias Ótimas Anti-HIV para a Redução da Transmissão Vertical RENATO BEVILACQUA, LUIZ HENRIQUE ALVES MONTEIRO
- BT/PTC/0110 Brain Signal Analysis Using Non-Linear ARIMA Models ERNANE J. X. COSTA, EUVALDO FERREIRA CABRAL JR.
- BT/PTC/0111 Cancelamento de Eco Acústico Estéreo: Análise de Algoritmos Adaptativos e um novo Método de Redução do Desalinhamento ROBERTO ROSCHEL BELLI, PHILLIP MARK SEYMOUR BURT
- BT/PTC/0112 Natural Gas Flow Computer With Open Architecture Using Intelligent Instrumentation And Field Bus OSMEL REYES VAILLANT, CLAUDIO GARCIA
- BT/PTC/0113 Aplicação de Métodos de Inteligência Artificial em Inteligência de Negócios –ROGÉRIO GARCIA DUTRA, EUVALDO FERREIRA CABRAL JR.
- BT/PTC/0114 Detectores Multiusuário para DS/CDMA Canceladores de Interferência –TAUFIK ABRÃO, PAUL JEAN E. JESZENSKY
- BT/PTC/0115 Reconhecimento Automático do Locutor Usando Pré-Processamento em Sons Nasalizados com Diversos Classificadores Neurais ROBERTO AMILTON BERNARDES SÓRIA, EUVALDO FERREIRA CABRAL JR.
- BT/PTC/0116 Aplicando a Técnica de Times Assíncronos na Otimização de Problemas de Empacotamento Unidimensional REINALDO DE BERNARDI, TSEN CHUNG KANG
- BT/PTC/0117 A Simplified Implementation of the Theory of Emotions for Emotrots RODRIGO DE TOLEDO CAROPRESO, RODRIGO DIAS MORGADO, EUVALDO FERREIRA CABRAL JR.
- BT/PTC/0118 Modelos Dinâmicos Aplicados à Propagação de Virus em Redes de Computadores BETYNA FERNÁNDEZ NAVARRO, JOSÉ ROBERTO CASTILHO PIQUEIRA
- BT/PTC/0119 Técnicas para Melhorar o Desempenho do Método dos Análogos Modificado em Predição de Séries Temporais Caóticas – LUIZ MONZÓN BENITEZ, ADEMAR FERREIRA
- BT/PTC/0120 Um Modelo Microscópico para a Simulação de uma Intersecção Semaforizada EDUARDO ULI NELLAR, ADEMAR FERREIRA
- BT/PTC/0121 Subspace Identification Methods Applied to Activated Sludge Processes: A Performance Comparison Study OSCAR A. Z. SOTOMAYOR, SONG WON PARK, CLAUDIO GARCIA
- BT/PTC/0122 Controle Avançado de Temperatura para Perfusão Peritoneal com Hipertermia e Quimioterapia ARNALDO LAGANARO JUNIOR, FUAD KASSAB JUNIOR
- BT/PTC/0123 Análise de Sinais Biológicos Utilizando Wavelets FRANCO BELTRAME RUNZA, FUAD KASSAB JUNIOR
- BT/PTC/0123 Certificação de Estimuladores Neuromusculares no Sistema Brasileiro de Certificação de Equipamentos Médicos EDUARDO RODRIGUES MANDL, JOSÉ CARLOS TEIXEIRA DE BARROS
- BT/PTC/0201 Aplicação de Transformadas Tempo Freqüência e de Redes Neurais Artificiais no Processamento Digital de Sinais Cerebrais MARCOS TEIXEIRA DE FREITAS FILHO, EUVALDO FERREIRA CABRAL JR.
- BT/PTC/0202 Aspectos de Identificação para Controle de Sistemas NARX usando Redes Neurais RBF RITA DE CÁSSIA PAVANI LAMAS, ADEMAR FERREIRA
- BT/PTC/0203 A Equação de Riccati Estacionária na Estimação Linear em Sistemas Lineares Discretos no Tempo com Saltos Markovianos SUSSET GUERRA JIMENEZ, OSWALDO LUIZ DO VALLE COSTA
- BT/PTC/0204 Comparação entre Algoritmos de Identificação Não-Assistida de Canais de Comunicação Baseados em Estatisticas de Segunda Ordem CLÁUDIO JOSÉ BORDIN JUNIOR, LUIZ ANTONIO BACCALA
- BT/PTC/0205 Desenvolvimento de um Simulador de uma Sub-Rede da Medula Espinhal ROGÉRIO RODRIGUES LIMA CISI, ANDRÉ FABIO KOHN
- BT/PTC/0206 Novos Modelos de Motoneurônios de Vertebrados MARCOS FRAGA VIEIRA, ANDRÉ FABIO KOHN

- BT/PTC/0207 Modelagem Auto-Regressiva e Memórias Associativas na Classificação de Sinais Eletromiográficos de
- BT/PTC/0208 Análise da Classificação e da Síntese de Expressões Faciais com Redes Neurais Artificiais OLIMPO MURILO CAPELI, EUVALDO FERREIRA CABRAL JUNIOR
- BT/PTC/0209 Guiagem Automática de um Veículo Autônomo Baseada em Sistema de Visão NICOLÁS CÉSAR LAVINIA,
- BT/PTC/0210 Some Geometric Properties of Differential-Algebraic Equations PAULO SÉRGIO PEREIRA DA SILVA
- BT/PTC/0211 Modelos de Média-Variância de Período Simples e Multi-Períodos na Análise de Carteiras de Investimento -MARGARETH AP. DE SOUZA BUENO, OSWALDO LUIZ DO VALLE COSTA
- BT/PTC/0212 Avaliação da Utilização de Centrais Públicas de Informações de Crédito num Modelo de Previsão para Risco de Crédito – GUILHERME GONZALEZ C. PARENTE, OSWALDO LUIZ DO VALLE COSTA
- BT/PTC/0213 Propagação de Erros de Freqüência em Redes Mestre Escravo em Estrela Dupla SANTOS ANDRÉS CASTILHO VARGAS, JOSÉ ROBERTO CASTILHO PIQUEIRA
- BT/PTC/0214 Avaliação Prática de um Algoritmo de Alta Resolução na Determinação de Freqüências de Ressonância em Estruturas de Grande Porte – LUIZ ANTONIO BARBOSA COELHO, LUIZ ANTONIO BACCALÁ
- BT/PTC/0301 Finite Horizon Quadratic Optimal Control Problem of Markovian Jump Linear Systems With Partial Information - ESTEBAN FERNANDEZ TUESTA, OSWALDO LUIZ DO VALLE COSTA
- BT/PTC/0302 A Framework for Admission Control Based on Aggregate Traffic Measurements and Network Characterization - ALEXANDRE BARBOSA DE LIMA, JOSE ROBERTO DE ALMEIDA AMAZONAS
- BT/PTC/0303 Identificação Nebulosa da Concentração de Oxigênio Dissolvido do Tanque de Aeração de uma Estação de Tratamento de Esgotos por Lodos Ativados – ALEXANDRE MAGNO PARENTE DA ROCHA, CLAUDIO
- BT/PTC/0304 Cálculo de Balanço de Potência em Sistemas DWDM com Spans Variáveis e Amplificadores com Curva de Ganho não Plana - WALMARA DE PAULA HERMAN, JOSÉ ROBERTO DE ALMEIDA AMAZONAS
- BT/PTC/0305 Robust Model Tracking and 2-D Control Design FABRIZIO LEONARDI, JOSÉ JAIME DA CRUZ
- BT/PTC/0306 Classificação de Ações do Mercado Financeiro Utilizando Técnicas Fuzzy –RENATO APARECIDO AGUIAR,
- BT/PTC/0307 Esquemas de Multitaxa para Sistemas CDMA de Banda Larga ANDRÉ FAGUNDES DA ROCHA, PAUL
- BT/PTC/0308 A Time-Invariant Flat System Always Admits a Time-Invariant Flat Output PAULO SERGIO PEREIRA DA
- BT/PTC/0309 Otimização Robusta de Carteiras Utilizando Desigualdades Matriciais Lineares RODRIGO BARROS
- BT/PTC/0310 Desenvolvimento de um Controlador Automático para Sistemas de Guiagem de Tiras de Aço em Linhas de Processos Siderúrgicos – AMAURI DIAS DE CARVALHO, JOSÉ JAIME DA CRUZ
- BT/PTC/0311 Sincronismo em Redes Mestre-Escravo de Via Única: Estrela Simples, Cadeia Simples e Mista CARLOS
- BT/PTC/0312 Aprendizado por Reforço Aplicado a Sistemas Neuro-Difusos para o Controle de Sinais de Trânsito LEONCIO
- BT/PTC/0313 Métodos de Decomposição em Problemas de Estoque e Roteirização PATRIÍCIA PRADO BELFIORE,
- BT/PTC/0314 Reconhecimento do Sinal Mioelétrico Aplicado à Engenharia de Reabilitação LEONARDO PINHEIRO DA SILVA,
- BT/PTC/0401 Comparação Entre Receptores Espaço-Temporais Semicegos de Formatação de Feixe e Diversidade para SistemaS W-CDMA – IVAN ROBERTO SANTANA CASELLA, PAUL JEAN ETIENNE JESZENSKY
- BT/PTC/0402 Mapas Acoplado e Aplicações: Processamento de Imagens, Auto-Organização e Processamento Simbólico ROGÉRIO DE OLIVEIRA, LUIZ HENRIQUE ALVES MONTEIRO
- BT/PTC/0403 Modelagem de FCC Usando Métodos de Identificação por Predição de Erro e por Sub-Espaços SANTOS
- BT/PTC/0404 Implementação em Hardware / Firmware de um Sensor Virtual Utilizando Algoritmos de Identificação Fuzzy –
- BT/PTC/0405 Técnicas de Seleção de Variáveis de Entrada para Identificação da Concentração de Amônia de uma Planta de Tratamento de Efluentes Utilizando Modelos NARX Polinomiais - ROSIMEIRE APARECIDA JERÔNIMO,
- BT/PTC/0406 Cálculo da Faixa de Captura de um PLL de Ordem n + 1 Combinando a Teoria dos Sistemas Dinâmicos com o Método do Lugar das Raízes - ANTONIO CARLOS ROSSO JÚNIOR, JOSÉ ROBERTO CASTILHO

